

# ВЛИЯНИЕ МАССЫ ПАДАЮЩИХ ЧАСТЕЙ МОЛОТА И МАССЫ ЗАГОТОВКИ НА ЭФФЕКТИВНОСТЬ УДАРНОГО ДЕФОРМИРОВАНИЯ ЗАГОТОВКИ ПРИ ОСАДКЕ

В.Ю. Лавриненко

*Приведены результаты экспериментальных исследований процесса ударного деформирования заготовки при осадке с различными отношениями массы заготовки к массе падающих частей молота и различными энергиями удара. В результате обработки полученных данных на основе метода многофакторного планирования эксперимента построена математическая модель процесса ударного деформирования в виде уравнения регрессии, определяющего зависимость относительной деформации заготовки от отношения массы заготовки к массе падающих частей молота и энергии удара. Результаты исследования могут быть использованы при разработке технологических процессовковки на молотах.*

**Ключевые слова:** удар, осадка, метод многофакторного планирования эксперимента, математическая модель, уравнение регрессии.

## Введение

Известно, что на эффективность ударного деформирования заготовок на молоте в значительной степени влияют конструктивное исполнение молота, отношение массы шабота к массе падающих частей молота, а также вид технологической операции на молоте [1].

Однако недостаточно изучен вопрос о влиянии отношения массы заготовки к массе падающих частей молота на относительную деформацию заготовок, во многом определяющую эффективность ударного деформирования на молоте.

## Методика и результаты экспериментальных исследований

Осадку заготовок и определение параметров удара выполняли на экспериментальном ударном стенде, состоящем из вертикального копра и системы скоростной видеосъемки [2].

При осадке заготовки проводили видеосъемку с помощью скоростной цифровой видеокамеры FastVideo-250, во время которой данные в непрерывном режиме поступали в оперативную память компьютера.

После завершения исследуемого процесса осадки видеозаписи обрабатывали с помощью базового программного обеспечения, что позволило определить продолжительность фаз удара, деформацию заготовок и скорость движения бабы копра.

В качестве материала заготовок для моделирования горячего деформирования углеродистых и низколегированных сталей использовали прессованный свинец.

Для обеспечения условий максимального трения при горячем деформировании стали, при котором коэффициент трения близок к максимальному (0,35–0,40), поверхности заготовки и инструмента обезжиривали ацетоном и натирали мелом.

Для осадки заготовок на копре использовали две бабы массами  $m_0 = 22,3; 33,45$  кг. Масса основания копра составляла 500 кг.

По данным ОАО УЗТМ, отношение массы заготовки к массе падающих частей молота для молотов с массой падающих частей 1–5 т лежит в пределах 0,01–0,06.

В связи с этим были назначены массы

заготовок-моделей  $m_{\text{заг}} = 0,85$  и  $1,15$  кг для осадки бабами с  $m_6 = 22,3$  и  $33,45$  кг. При этом отношение массы заготовки к массе бабы копра

$$K_{\text{заг}} = m_{\text{заг}} / m_6 = 0,025; 0,034; 0,038; 0,051.$$

Размеры заготовок-моделей назначали таким образом, чтобы при осадке степень деформации, приблизительно равная 10 %, соответствовала отношению высоты к диаметру заготовки  $H_{\text{заг}} / D_{\text{заг}} \approx 0,3; 0,5$ . Размеры заготовок составляли:  $H_{\text{заг}} = 23; 26$  мм и  $D_{\text{заг}} = 74; 50$  мм.

Бабу копра массой  $m_6 = 22,3$  кг сбрасывали с трех различных высот: 0,5; 1,25; 2 м, а бабу массой  $m_6 = 33,45$  кг – с высот: 0,33; 0,83; 1,33 м. При этом трем различным высотам сбрасывания баб соответствовали энергии удара  $A = 109,3; 273,2; 473,1$  Дж.

Каждой высоте сбрасывания баб с  $m_6 = 22,3$  и  $33,45$  кг соответствовали три теоретические скорости движения каждой бабы в момент соударения с заготовкой: 3,13; 4,95; 6,26 м/с и 2,42; 3,96; 5,01 м/с.

При обработке полученных видеоизображений процесса осадки были определены фактические скорости движения баб копра при их падении с заданных высот, которые составляли 3; 4,8; 6 м/с и 2,4; 3,9; 5,0 м/с соответственно для баб с  $m_6 = 22,3$  и  $33,45$  кг. Теоретическая скорость отличается от фактической приблизительно на 5 %, что можно объяснить потерями на трение в направляющих копра.

При дальнейшей обработке видеоизображений процесса осадки получали раскадровки и определяли перемещение баб копра в процессе осадки и пластическую деформацию заготовок  $\Delta H_{\text{п}}$ .

При обработке полученных раскадровок процесса осадки определяли количество кадров  $N_1$ , соответствующее нагрузочной фазе удара – от момента начала деформирования заготовки до окончания осадки заготовки, а также количество кадров  $N_2$ , соответствующее разгрузочной фазе удара – от момента максимальной деформации заготовки до отскока от нее бабы.

Время каждой фазы удара определяли по формуле

$$T_j = N_j t \quad \text{при } j=1, 2,$$

а полное время удара – по формуле

$$T_{\text{уд}} = T_1 + T_2,$$

где  $N_j$  – количество кадров;  $t = 3,33 \cdot 10^{-4}$  с – время одного кадра;  $T_1, T_2$  – время нагрузочной и разгрузочной фаз удара.

Далее проводили масштабирование полученных кадров процесса осадки и измерение перемещения бабы  $\Delta H_i$  с шагом по времени, равным принятому времени одного кадра  $t$  (рис. 1).

После определения перемещения бабы  $\Delta H_i$  на каждом  $i$ -м шаге измерения вычисляли пластическую деформацию свинцовых заготовок  $\Delta H_{\text{п}}$  на нагрузочной фазе удара по формуле

$$\Delta H_{\text{п}} = \Delta H_i - \Delta H_{\text{yi}},$$

где  $\Delta H_{\text{yi}}$  – упругая деформация основания копра.

При обработке полученных кадров процесса осадки за перемещение  $\Delta H_{\text{yi}}$  принимали величину обратного хода бабы на разгрузочной фазе удара до момента ее отрыва от заготовки.

Необходимо отметить, что свинец относится к высокопластичным материалам, поэтому упругими деформациями свинцовых заготовок пренебрегали.

На рис. 2 представлены зависимости перемещения бабы, упругой деформации основания копра и пластической деформации заготовки от времени в процессе осадки бабой с  $m_6 = 22,3$  кг при  $A = 109,3$  Дж. Данные зависимости были аппроксимированы полиномиальными зависимостями 4-го порядка. На рис. 2 экспериментальные значения показаны точками.

Аналогично были получены зависимости пластической деформации заготовок  $\Delta H_{\text{п}}$  от времени при осадке бабами с  $m_6 = 22,3$  и  $33,45$  кг и других энергиях  $A$ .

Относительную пластическую деформацию заготовок определяли по формуле

$$\varepsilon_{\text{п}} = \frac{\Delta H_{\text{п}}}{H_{\text{заг}}} \cdot 100.$$

Зависимость относительной деформации заготовок  $\varepsilon$  от времени при осадке бабами с  $m_6 = 22,3$  и  $m_6 = 33,45$  кг; при отношениях  $K_{\text{заг}} = 0,025; 0,038$  и различных энергиях  $A$  приведена на рис. 3.

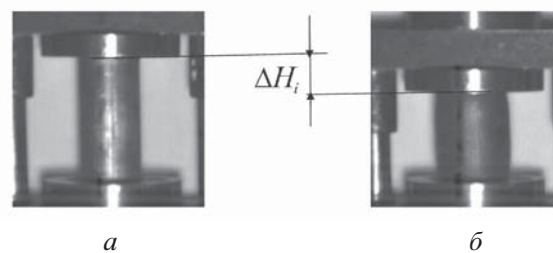


Рис. 1. Раскадровка видеоизображения для измерения перемещения бабы  $\Delta H_i$

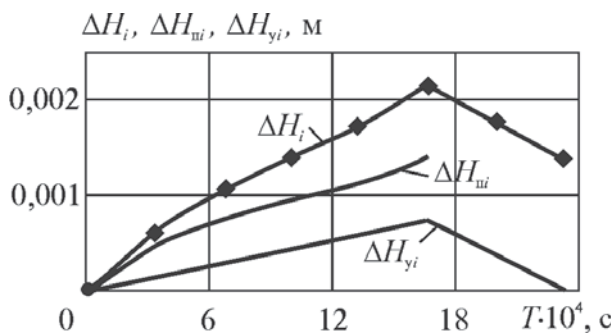


Рис. 2. Зависимости перемещения бабы  $\Delta H_i$ , пластической деформации заготовок  $\Delta H_{pi}$  и упругой деформации основания копра  $\Delta H_{yi}$  от времени  $T$  при осадке заготовок бабой с  $m_6 = 22,3$  кг при  $A = 109,3$  Дж

В процессе осадки заготовок бабой с  $m_6 = 22,3$  кг при  $A = 109,3$  Дж получили  $\epsilon = 5,4\%$ ,  $T_1 = 1,67$  мс; при  $A = 273,2$  Дж получили  $\epsilon = 12,3\%$ ,  $T_1 = 1,67$  мс, а при  $A = 437,1$  Дж получили  $\epsilon = 18,5\%$ ,  $T_1 = 2$  мс.

В процессе осадки заготовок бабой с  $m_6 = 33,45$  кг при  $A = 109,3; 273,2; 437,1$  Дж получили  $\epsilon = 8,1; 16,2; 21,9\%$ , что соответственно в 1,5; 1,3; 1,2 раза больше  $\epsilon$  при осадке бабой с  $m_6 = 22,3$  кг и тех же энергиях  $A$ . При этом время нагрузочной фазы  $T_1$  в среднем в 1,3 раза больше соответствующей величины при осадке бабой с массой  $m_6 = 22,3$  кг и всех значениях энергии  $A$ .

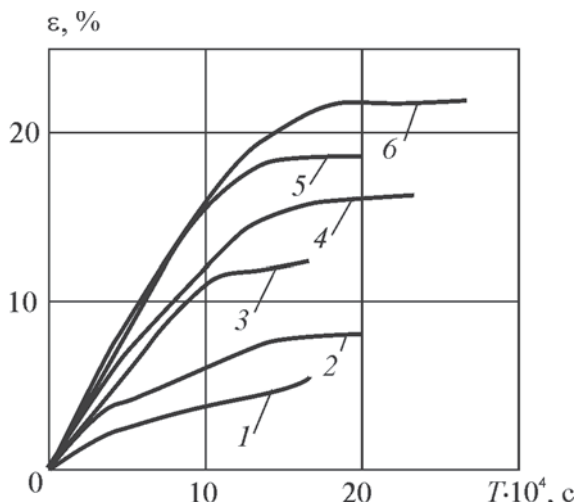


Рис. 3. Зависимости относительной деформации заготовок  $\epsilon$  от времени  $T$  при осадке бабой с различными  $m_6$  и  $A$ :

- 1 – при  $m_6 = 22,3$  кг ( $K_{заг} = 0,038$ );  $A = 109,3$  Дж;
- 2 – при  $m_6 = 33,45$  кг ( $K_{заг} = 0,025$ );  $A = 109,3$  Дж;
- 3 – при  $m_6 = 22,3$  кг ( $K_{заг} = 0,038$ );  $A = 273,2$  Дж;
- 4 – при  $m_6 = 33,45$  кг ( $K_{заг} = 0,025$ );  $A = 273,2$  Дж;
- 5 – при  $m_6 = 22,3$  кг ( $K_{заг} = 0,038$ );  $A = 437,1$  Дж;
- 6 – при  $m_6 = 33,45$  кг ( $K_{заг} = 0,025$ );  $A = 437,1$  Дж

Таким образом, при уменьшении отношения  $K_{заг}$  в процессе осадки заготовок с одной и той же энергией удара увеличивались относительная деформация (в 1,2 – 1,5 раза) и время нагрузочной фазы  $T_1$  (в 1,3 раза).

### Математическая модель процесса ударного деформирования заготовок

Для дальнейшей обработки результатов экспериментальных исследований и построения математической модели процесса ударного деформирования заготовок использовали метод многофакторного планирования эксперимента.

Применение данного метода позволяет выявлять общие закономерности исследуемого процесса в зависимости от различных факторов, оценивать влияние этих факторов на процесс, а также проводить анализ построенных математических моделей процесса.

В качестве независимых факторов были приняты: энергия удара  $A$  и отношение  $K_{заг}$ . Значения факторов и уровни их варьирования приведены в табл. 1.

Таблица 1

#### Факторы и уровни их варьирования

$n$	Фактор $X_n$	Значение фактора	Уровень варьирования
1	$A$ , Дж	109,3	0
		273,2	1
		437,1	2
2	$K_{заг}$	0,025	0
		0,038	1
		0,051	2

Для составления матрицы плана эксперимента использовали стандартный план полного факторного эксперимента  $3^2$ , включающий в себя девять экспериментов.

Регрессионную модель строили в виде:

$$y = b_0 + b_1 X_1 + b_2 X_2 + b_{11} X_1^2 + b_{22} X_2^2 + b_{222} X_2^3.$$

В табл. 2 представлена матрица плана эксперимента.

После обработки результатов экспериментов была проведена проверка значимости коэффициентов уравнения регрессии по критерию Стьюдента и адекватности по критерию Фишера при принятом уровне значимости 5%. В результате было построено уравнение регрессии, описывающее процесс удара при осадке и показывающее зависимость относительной де-

Таблица 2

Матрица плана эксперимента

Номер эксперимента	Фактор 1 ( $X_1$ )	Фактор 2 ( $X_2$ )
1	109,3	0,025
2	273,2	0,025
3	437,1	0,025
4	109,3	0,038
5	273,2	0,038
6	437,1	0,038
7	109,3	0,051
8	273,2	0,051
9	437,1	0,051

формации заготовок  $\varepsilon$  от энергии  $A$  и отношения  $K_{\text{заг}}$ :

$$\varepsilon = 0,01 + 0,111A + 120K_{\text{заг}} - 0,0001A^2 - 5591,7K_{\text{заг}}^2 + 5926,8K_{\text{заг}}^3.$$

На рис. 4 представлены зависимости относительной деформации заготовок  $\varepsilon$  в процессе осадки от отношения  $K_{\text{заг}}$  при различных энергиях  $A$ , построенные по полученному уравнению регрессии.

В результате анализа построенной регрессионной зависимости из условия  $d\varepsilon / dK_{\text{заг}} = 0$  для трех различных значений энергии  $A$  было определено значение  $K_{\text{заг}} \leq 0,015$ , которому соответствуют наибольшая относительная деформация заготовок при осадке.

Полученные отношения  $K_{\text{заг}}$  можно использовать при разработке технологических процессовковки на молотах.

#### Пример расчета массы падающих частей молота при осадке заготовки

Необходимо определить массу падающих частей молота при осадке заготовки диаметром  $D_{\text{заг}} = 150$ , высотой  $H_{\text{заг}} = 100$  мм. Осадку провести до высоты поковки 80 мм. Материал заготовки – низкоуглеродистая сталь:  $\sigma_{\text{в}} = 400; 20; 45$  МПа при температуре 20; 1200; 900 °С соответственно.

Объем заготовки определяли по формуле

$$V_{\text{заг}} = \frac{\pi D_{\text{заг}}^2}{4} H_{\text{заг}} = \frac{3,14 \cdot 0,15^2 \cdot 0,1}{4} = 0,00176 \text{ м}^3,$$

массу заготовки – по формуле

$$m_{\text{заг}} = \rho V_{\text{заг}} = 7,85 \cdot 10^3 \cdot 0,00176 = 13,8 \text{ кг}.$$

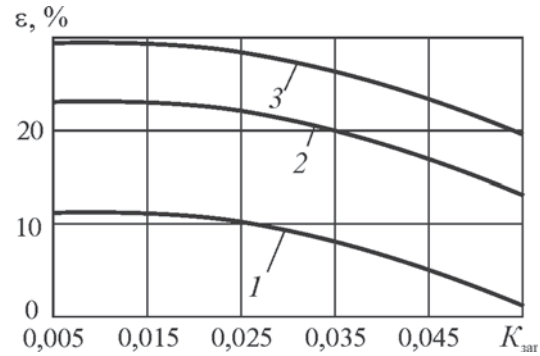


Рис. 4. Зависимость относительной деформации заготовок  $\varepsilon$  от отношения  $K_{\text{заг}}$ : 1 – при  $A = 109,3$  Дж; 2 – при  $A = 273,2$  Дж; 3 – при  $A = 437,1$  Дж

Из соотношения

$$K_{\text{заг}} = m_{\text{заг}} / G \leq 0,015,$$

где  $G$  – масса падающих частей молота (в кг), принимаем  $K_{\text{заг}} = 0,015$  и определяем массу  $G$ :

$$G = 13,8 / 0,015 = 920 \text{ кг}.$$

По ГОСТ 9752–85 выбираем молот с ближайшей к полученной массе большей массой падающих частей  $G = 1000$  кг и энергией удара  $A = 25$  кДж.

#### Заключение

В результате экспериментальных исследований процесса ударного деформирования при осадке с различными отношениями массы заготовки к массе бабы копра  $K_{\text{заг}}$  и различных энергиях  $A$  было установлено, что при уменьшении  $K_{\text{заг}}$  с 0,051 до 0,025 относительная деформация заготовок увеличивается в 1,2 – 1,5 раза, а время нагрузочной фазы – в 1,3 раза при осадке заготовок с теми же энергиями удара.

После обработки результатов экспериментальных исследований с помощью метода многофакторного планирования эксперимента была построена математическая модель процесса ударного деформирования в виде уравнения регрессии, определяющего зависимость относительной деформации заготовки  $\varepsilon$  от отношения  $K_{\text{заг}}$ . В результате анализа построенного уравнения регрессии было установлено, что для получения наибольшей относительной деформации и повышения эффективности ударного деформирования заготовок при осадке необходимо использовать заготовки с отношением  $K_{\text{заг}} \leq 0,015$ . Полученные значения отношения  $K_{\text{заг}}$  можно использовать при разработке технологических процессовковки на молотах.

**Список литературы**

1. Живов Л.И., Овчинников А.Г., Складчиков Е.Н. Кузнечно-штамповочное производство: учебник. – М.: МГТУ им. Н.Э. Баумана, 2006. – 559 с.
2. Феофанова А.Е., Лавриненко В.Ю. Экспериментальные исследования процесса удара при осадке цилиндрических заготовок // Заготовительные производства в машиностроении. 2012. № 2. С. 12–15.

*Материал поступил в редакцию 16.11.2011*

**ЛАВРИНЕНКО  
Владислав Юрьевич**

E-mail: [lvq@mail.ru](mailto:lvq@mail.ru)

Тел.: +7(499) 764-10-59

Кандидат технических наук, доцент кафедры машин и технологий обработки металлов давлением ФГБОУ ВПО «МГИУ», заведующий межкафедральной лабораторией САПР автомобильного факультета ФГБОУ ВПО «МГИУ». Сфера научных интересов – технологияковки и горячей объемной штамповки на молотах, технология холодной объемной штамповки. Автор 40 научных работ, в том числе шести патентов на изобретения и полезные модели.